

討 18 鉄-13 at.% ベリリウム合金の時効と機械的性質

金属材料技術研究所 ○山縣敏博 八木沢幹
吉田秀彦

1. 緒言

鉄をベースとする置換型2元合金うち析出硬化型のもの、すなわちFe-Cu, Fe-Au, Fe-Mo, Fe-W, Fe-Ti, Fe-Beなど殆んどすべてのものについて、すでにその析出の様相とそれに伴う機械的性質、特に末として硬度変化が調べられており。このうちでFe-Be系については、時効におけるその複雑な構造変化についての2,3の研究と同時に Balling と Richman による Fe_3Be 規則合金の異常な変形モードが報告されている。我々は先に Fe-23 at.% Be について主として透過程子顕微鏡によりその相変化を調べたが、Be 濃度の高い合金は焼入れの際クラックを発生し易いので、今回は Fe-13 at.% Be 合金を用いて、透過程子顕微鏡観察と対応させつつ、時効による機械的性質の変化を調べた。

2. 実験方法

日本碍子株式会社より購入した約 25 at.% の Be を含む Fe-Be 合金(不純物として Si: 0.005%, Cu: 0.005%, C: 0.016%, Mn: 0.005%, P: 0.004%, S: 0.006% を含む)に昭和電工製再電解鉄を加えて 100 mm Hg の水素雰囲気中で高周波炉により溶解し 7 kg の ingot を作製した。この ingot を水素雰囲気炉中で 1200°C に加熱した後、鋳造、熱間圧延により 8 mm 厚の板とした。この板からサイズ 14 × 4 × 7.5 mm³ の圧縮試験用の試料を切り出し、均質化処理の為に石英管中に真空封入して 1000°C で一週間加熱した。13% Be 濃度の合金では水中に焼入れると、試料中に焼入孔が生ずるので油焼入を行った。焼入孔の試料の結晶粒の大きさは 1 ~ 1.5 mm 中であった。時効は 300°C, 500°C, 600°C, 700°C で行い、時効時間が 20 時間以下のものは爐浴中で、それ以上のものは石英管中に真空封入して炉中で加熱した。各時効に際しては 3 ケの試料を用意して同時に時効し、そのうちの 2 ケをインストロン型試験機により速度 $2.5 \times 10^{-4} \text{ sec}^{-1}$ で圧縮試験し、残りの 1 ケから 0.5 mm 厚さの薄板を 4 枚切り出してエメリー研磨、化学研磨(硫酸 10% 加えた過酸化水素水による)、そして最後に電解研磨(80°C で苛性カリ水溶液を飽和させた正磷酸)して薄膜にし、100 KV の電子顕微鏡で直接観察した。

3. 実験結果

この合金の種々の時効処理をしたもののが圧縮試験における応力-変位曲線を、その代表的なものについて図 1 から図 4 までに示す。図 1 は焼入状態の試料である。塑性変形はすべて双晶変形によつておこり、これにともづく変形は図に示すように約 5% 迄までは認められなかった。変形以前の試料の透過程子顕微鏡観察によると、規則化による電子回折像や析出粒子のようなものは観察されなかつた。図 2 は 300°C で 12.5 時間時効した場合である。塑性変形はすべて双晶変形でおこるのと同様に焼入状態の場合と同じであるが、双晶の応力低下の大きさが全量とともに僅に増加してゆく傾向が認められる。すなわち双晶によつて

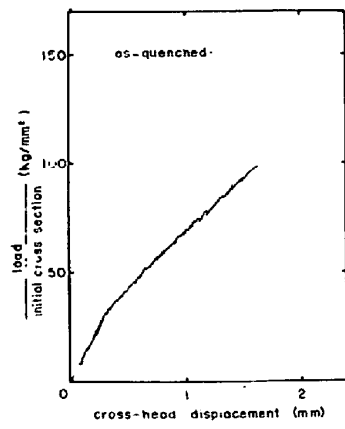


図 1

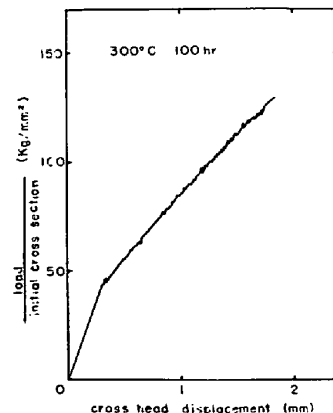


図 2

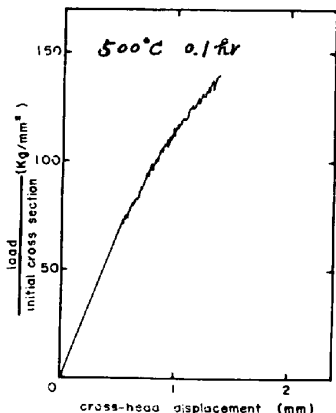


図 3

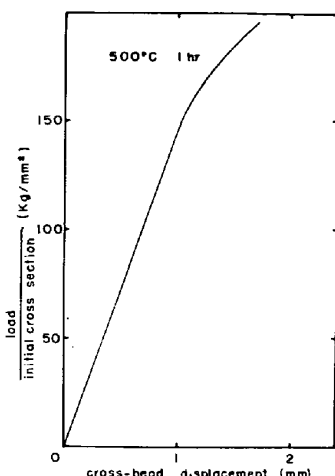


図 4

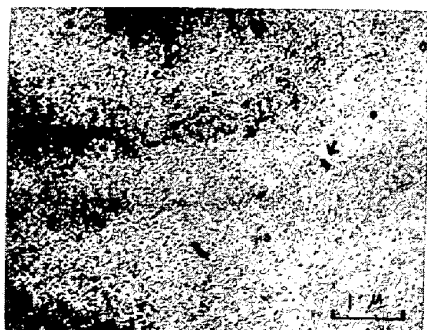


写真 1

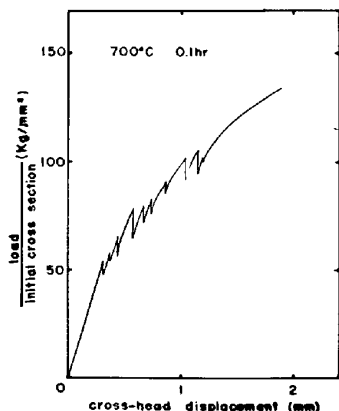


図 5

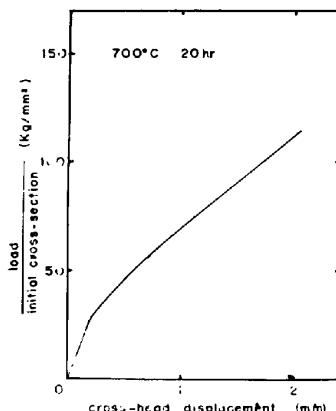


図 6

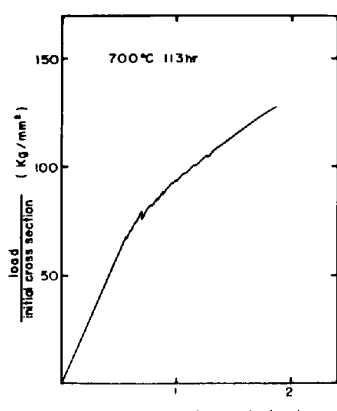


図 7

安定相の析出している場合の一例として写真 1 は 600°C , 20 hr 时效した場合の電子顕微鏡写真を示す。小さな黒白の濃淡のように見えるのが中间相で、矢印で示した形状のはつまりして黒または白の粒子が安定相である。 700°C 时效した場合の変形曲線を図 5, 6, 7 に示す。図 5 は 0.1 hr 时效した場合であり、焼入状態と比べると双晶に基づく 1 回の応力低下が非常に大きくなり、双晶と双晶の間に上りかがりがあるのが特徴である。この時の降伏応力は焼入状態より僅かに高い程度である。この時間での電子顕微鏡像は写真 2 である。全面にわたって黒い粒子が析出しているのが観察されたが、これは現在のところ 500°C , 600°C における中间相の粗大化したものと考えられる。図 6 は 20 hr 时效した場合で

降伏応力が焼入状態のものより高い応力側に移っているのが観察された。この時効處理では規則化した調査構造が形成されないのが遅延変形および回折より分かった。

500°C で时效した場合の機械的性質の変化を図 3, 図 4 に示す。図 3 は 0.1 hr 时效した場合である。焼入状態に比べると双晶の発生が高応力まで押さえられているのが明瞭に認められるが、その後の変形はやはり双晶変形である。さらに時効が進んで 1 时间時効した場合が図 4 である。ここで双晶の発生は完全に抑えられて上りのかけよって変形が進んでいく。20 hr 以後の時効では 100 hr までの時効時間はあまり変化なく変形はすべて上りである。降伏応力も 150 kg/mm^2 近辺の非常に高い値を示した。 600°C 时效した場合には、0.1 hr 时效ですべて双晶の発生が完全に抑えられることで変形し、それ以後 100 hr までの時効ではすべて上りによる変形である。上には変化がない。降伏応力も最初は 500°C 时效 = かけよ値とほぼ等しいが、時効時間とともに減少した。

600°C 时效した場合の変形像は、0.1 hr ですべて小さな中间相が試料全面にわたって析出していいが、安定析出相も中间相にまで進んでいく。この以後の時効時間は 100 hr 以後の変形はすべて上りである。降伏応力も 150 kg/mm^2 近辺の非常に高い値を示した。 700°C 时效した場合には、0.1 hr 时效ですべて双晶の発生が完全に抑えられることで変形し、それ以後 100 hr までの時効ではすべて上りによる変形である。上には変化がない。降伏応力も最初は 500°C 时效 = かけよ値とほぼ等しいが、時効時間とともに減少した。

600°C 时效した場合の変形像は、0.1 hr ですべて小さな中间相が試料全面にわたって析出していいが、安定析出相も中间相にまで進んでいく。この以後の時効時間は 100 hr 以後の変形はすべて上りである。降伏応力も 150 kg/mm^2 近辺の非常に高い値を示した。 700°C 时效した場合には、0.1 hr 时效ですべて双晶の発生が完全に抑えられることで変形し、それ以後 100 hr までの時効ではすべて上りによる変形である。上には変化がない。降伏応力も最初は 500°C 时效 = かけよ値とほぼ等しいが、時効時間とともに減少した。

まじつで僅に観察された。時効時間は 100 hr 以後の相の変化は 76 hr である。時間とともに中间相、安定相の大きさのみが増えていくのが認められた。これらの中間相、



写真 2

ある。2つで変形曲線から
は、一見上りによつて変形
しているように見えるが、
実際はこれは応力低下の時
常に小さな双晶で変形がある
ことについてこれが全く認め
られない場合である。降伏
応力はほとんどの焼入状態の時の
大きさにまとつてゐる。

2の状態の電子顕微鏡観察

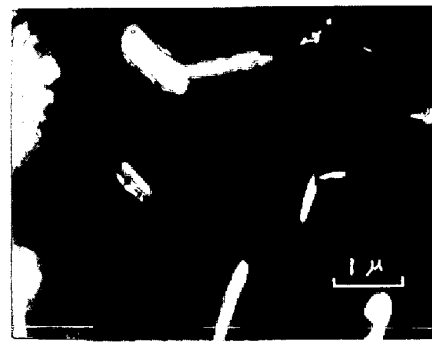


写真 3

3、粗大化した中间相がmatrixに溶解し、最終安定相 $FeBe_2$ が析出しえ始めた時に相当しているよう
である。図7は更に時効をすゝめ1/13丸に達した時の変形曲線であるが、初期は双晶変形、ある歪量
以上になると上り変形へ移行していく。1か月降伏応力は20か月時効の値より大きくなつた。この時の
電顕写真を写真3に示すが、安定相 $FeBe_2$ (Laves相)の析出が観察される。

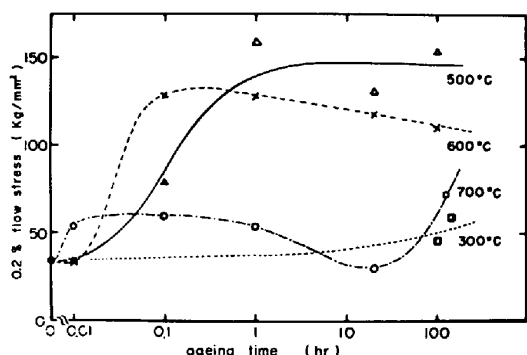


図 8

以上のように時効温度、時間とともに変化する応力-変位
曲線から0.2% flow stressを求め、時効時間に対して
plotしたものが図8である。図に記入した温度は時効温
度をあらはす。これら4点の時効硬化曲線はflow stress
の値から2つのグループにならはれる。一つは 50 kg/mm^2
程度の値をもつもので、 300°C , 700°C 時効がそれに對応
する。他の一つは $120 \sim 150 \text{ kg/mm}^2$ と高い値を示すもので
 500°C , 600°C 時効がそれに對応する。後者は兩温度
とも上り変形が支配的であるので、上で述べたように、
中间相が全面にわたつて析出してしまった状態に相當する。

600°C でflow stressが減少していく過程では中间相の粗大化が認められた。他方、前者は兩温度共
に焼入状態と同じく双晶変形が支配的であるが、時効處理によつて双晶形成による応力低下の大き
さと、混在する上り変形の量が変つてくる。

以上主なる観測結果のみについて述べたが、これらに対する機構についても報告したい。